

Algorytmy Geometryczne

Sprawozdanie z ćwiczenia 1. „Predykaty geometryczne”

Maciej Wiśniewski

Grupa 3 Poniedziałek 16.45 A

Data wykonania 14.10.2024

Data oddania 28.10.2024

1. Dane techniczne

Specyfikacja komputera: system **Ubuntu 24.04.01 Linux 5.15 x64**, procesor **AMD Ryzen 7 5825U with Radeon 2GHz 8 rdzeni, 16GB pamięci RAM**.

Ćwiczenie zostało napisane w języku *Python 3.9.20* w *Jupyter Notebook* w środowisku programistycznym *Visual Studio Code*. Aby wykonać ćwiczenie posłużono się bibliotekami: *matplotlib*, *numpy* i *pandas*. Do wykonania wizualizacji użyto narzędzia graficznego wykonanego przez *Koło Naukowe BIT*.

2. Cel ćwiczenia

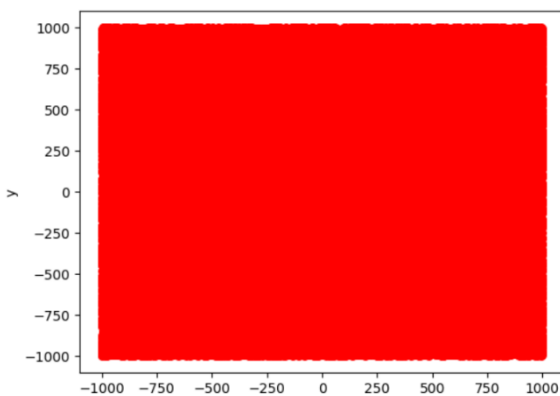
Celem ćwiczenia było zaznajomienie się z podstawowymi pojęciami *geometrii obliczeniowej* oraz implementacja kluczowych *predykatów geometrycznych*, takich jak określanie położenia punktu względem prostej. Ponadto zadanie obejmowało przeprowadzenie *testów*, *wizualizację uzyskanych danych* oraz *opracowanie wyników*.

3. Realizacja ćwiczenia

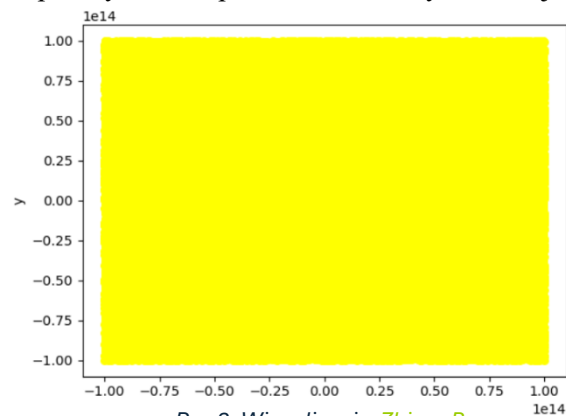
Zadanie oparto o generacji czterech zbiorów i następnej kategoryzacji punktów w nich zawartych względem orientacji do odcinka \overrightarrow{ab} dla $\mathbf{a} = [-1.0, 0.0]$, $\mathbf{b} = [1.0, 0.1]$. Zbiory, o które oparto ćwiczenie to:

- **Zbiór A** - 10^5 punktów na płaszczyźnie $[-1000, 1000]^2$
- **Zbiór B** - 10^5 punktów na płaszczyźnie $[-10^{14}, 10^{14}]^2$
- **Zbiór C** - 1000 punktów leżących na okręgu w układzie współrzędnych o środku $\mathbf{O} = (0, 0)$ i promieniu $R = 100$
- **Zbiór D** - 1000 punktów o współrzędnych niezależnych z przedziału $[-1000, 1000]$ leżących na prostej zdefiniowanej przez wektor (\mathbf{a}, \mathbf{b}) , gdzie $\mathbf{a} = [-1.0, 0.0]$, $\mathbf{b} = [1.0, 0.1]$

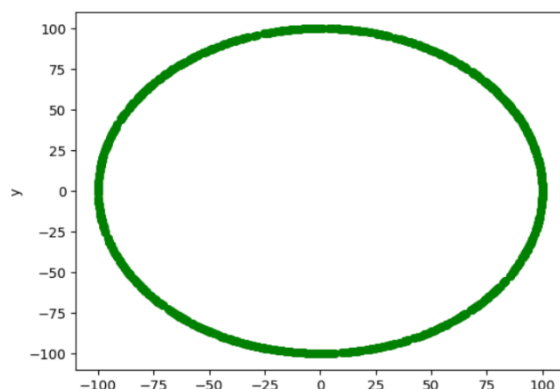
Aby uzyskać równomierny rozkład punktów w zbiorach użyto metody *random.uniform* dostępnej w bibliotece *numpy*, która generuje liczby typu *float64* z wybranego zakresu domkniętego. Dodatkowo, każdy zestaw punktów został wygenerowany używając typów liczbowych *float64* i *float32* aby móc określić ich potencjalny wpływ na wyniki. Dodatkowo podczas generowania punktów z **Zbiorem C** użyto metod *numpy.cos()* i *numpy.sin()* korzystając z parametrycznego równania okręgu. Punkty położone na prostej w **Zbiorze D** zostały wygenerowane używając równania parametrycznego prostej przechodzącej przez dwa punkty \mathbf{a} i \mathbf{b} w przestrzeni dwuwymiarowej.



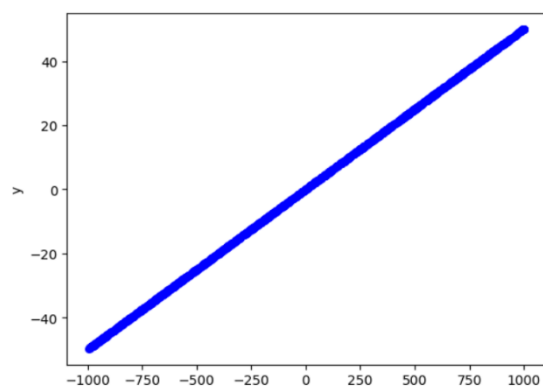
Rys. 1 Wizualizacja Zbioru A



Rys. 2. Wizualizacja Zbioru B



Rys. 3 Wizualizacja Zbioru C



Rys. 4 Wizualizacja Zbioru D

Wszystkie punkty z określonych zbiorów zostały sklasyfikowane według ich położenia względem linii wyznaczone przez wektor ab , gdzie $a = [-1.0, 0.0]$, $b = [1.0, 0.1]$. Dla każdego punktu przypisujemy mu jedno z podanych położeń względem prostej oraz kolor : *na prawo od prostej - pomarańczowy*, *na lewo od prostej - zielony*, *na prostej - fioletowy*. Położenie to określamy dzięki obliczeniu wyznacznika macierzy wybranego punktu wraz z punktami $a = [-1.0, 0.0]$ oraz $b = [1.0, 0.1]$. Do generowania wykorzystujemy cztery różne metody liczenia wyznacznika(det) macierzy:

- *mat_det_2x2* – wyznacznik macierzy 2x2 liczony „ręcznie”,
- *mat_det_2x2_lib* – wyznacznik macierzy liczony z wykorzystaniem metody *numpy.linalg.det()*,
- *mat_det_3x3* – wyznacznik macierzy 3x3 liczony „ręcznie”,
- *mat_det_3x3_lib* – wyznacznik macierzy 3x3 liczony z wykorzystaniem metody *numpy.linalg.det()*.

Dwie różne precyzje float’a:

- *float64*,
- *float32*.

Cztery różne tolerancje błędów:

- *0*,
- *10⁻⁸*,
- *10⁻¹⁰*,
- *10⁻¹²*,
- *10⁻¹⁴*.

Podsumowując dane dla każdego zbioru zostały wygenerowane, uwzględniając wszystkie kombinacje następujących cech: metoda obliczania wyznacznika, typ liczbowy oraz tolerancja zera. W efekcie powstało łącznie 40 przypadków dla każdego ze zbiorów. Informacje dotyczące użytych parametrów podczas generacji oraz liczby punktów przypisanych do poszczególnych wartości kategorii zapisano w plikach CSV z użyciem biblioteki *pandas*. Nazwy plików odpowiadają nazwom poszczególnych zbiorów danych.

Do wizualizacji danych posłużono się narzędziem graficznym przygotowanym przez Koło Naukowe BIT. Do wizualizacji punktów użyto metody *Visualizer()*. Zakwalifikowanym punktom przydzielony kolory: na lewo od prostej - *zielony*, na prawo od prostej – *pomarańczowy*, na prostej - *fioletowy*. *Czerwoną* linią zaznaczono odcinek *ab*.

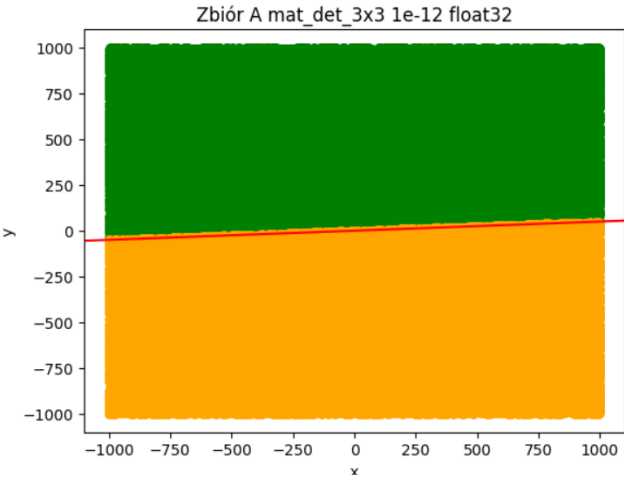
4. Analiza wyników

4.1. Zbiór A

W **Zbiorze A** kategoryzacja punktów była identyczna niezależnie od parametrów generowania danych. Liczba punktów w każdej kategorii została przedstawiona w Tabeli 1 oraz na Wykresie 1.

Punkty na lewo	Punkty na linii	Punkty na prawo
49960	0	50040

Tabela 1: Wyniki kategoryzacji punktów ze **Zbioru A**



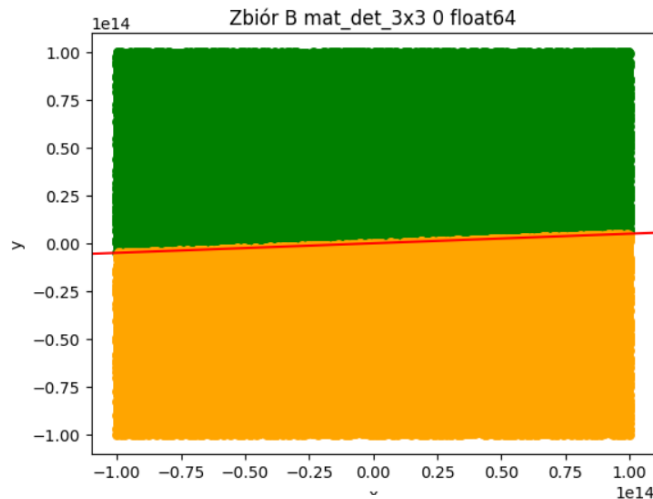
Wykres 1: Zbiór A mat_det_3x3 1e-12 float 32
Przykładowy wykres ze **Zbioru A**

4.2. Zbiór B

W **Zbiorze B** głównym czynnikiem różnicującymi wyniki kategoryzacji punktów były metody obliczania wyznacznika macierzy, pod uwagę należy wziąć różnice pomiędzy metodami obliczenia wyznacznika macierzy **mat_det_2x2** i **mat_det_2x2_lib**, a metodami uzyskiwania wyznacznika macierzy **mat_det_3x3** i **mat_det_3x3_lib**. Wszystkie wyniki dla metod liczenia wyznacznika macierzy **mat_det_3x3** i **mat_det_3x3_lib** wyglądały tak jak w Tabeli 2 i na Wykresie 2:

Punkty na lewo	Punkty na linii	Punkty na prawo
50006	0	49994

Tabela 2: Wyniki kategoryzacji punktów ze **Zbioru B** dla macierzy **mat_det_3x3** i **mat_det_3x3_lib**



Wykres 2: Zbiór B mat_det_3x3 0 float 64
Przykładowy wykres ze **Zbioru B** z
wyznacznikami macierzy 3x3

Dla pozostałych wizualizacji, czyli tych zawierających metody obliczeniowe macierzy **2x2** i **2x2_lib**, znaczący wpływ na wyniki miał wybór między **floatem32** i **floatem64**. Co warto wspomnieć, dla dokładność **epsilon = 0** wystąpiły punkty, które zostały zakwalifikowane jako leżące na prostej. Różnice zostały w poniższej tabeli :

float	wyznacznik	epsilon	Punkty na lewo	Punkty na linii	Punkty na prawo
float64	mat_det_2x2	0.0	50004	4	49992
float64	mat_det_2x2	1e-14	50004	0	49996
float64	mat_det_2x2	1e-12	50004	0	49996
float64	mat_det_2x2	1e-10	50004	0	49996
float64	mat_det_2x2	1e-08	50004	0	49996
float64	mat_det_2x2_lib	0.0	50001	7	49992
float64	mat_det_2x2_lib	1e-14	50001	0	49999
float64	mat_det_2x2_lib	1e-12	50001	0	49999
float64	mat_det_2x2_lib	1e-10	50001	0	49999
float64	mat_det_2x2_lib	1e-08	50001	0	49999
float32	mat_det_2x2	0.0	0	100000	0
float32	mat_det_2x2	1e-14	0	0	100000
float32	mat_det_2x2	1e-12	0	0	100000
float32	mat_det_2x2	1e-10	0	0	100000
float32	mat_det_2x2	1e-08	0	0	100000
float32	mat_det_2x2_lib	0.0	6663	86673	6664
float32	mat_det_2x2_lib	1e-14	6663	0	93337
float32	mat_det_2x2_lib	1e-12	6663	0	93337
float32	mat_det_2x2_lib	1e-10	6663	0	93337
float32	mat_det_2x2_lib	1e-08	6663	0	93337

Tabela 3: Porównanie kategoryzacji ze **Zbioru B** dla wyznaczników **2x2** i **2x2_lib**

4.2.1. Analiza wyników

Na podstawie tabeli można wyciągnąć kilka wniosków dotyczących rozkładu punktów względem linii, w zależności od zastosowanych parametrów: typu liczbowego (**float64** lub **float32**), metody wyznaczania wyznacznika (**mat_det_2x2** i **mat_det_2x2_lib**), oraz wartości **epsilon**, która określa tolerancję zera. Analizę można podzielić na kilka aspektów:

1. Typ liczbowy:

float64: Gdy używany jest typ **float64**, liczba punktów zaklasyfikowanych jako "**Punkty na lewo**", "**Punkty na linii**" i "**Punkty na prawo**" zmienia się w zależności od wartości **epsilon** oraz metody obliczeń. Jednak w większości przypadków nie występuje wiele punktów na linii (liczba ta wynosi głównie 0).

float32: W przypadku **float32**, niemal we wszystkich konfiguracjach znaczna liczba punktów (86,673) zostaje zaklasyfikowana jako leżące na linii, co sugeruje, że niższa precyzja **float32** wpływa na dokładność klasyfikacji. Wartość **epsilon** nie ma znaczącego wpływu na wyniki, co sugeruje, że dokładność samego typu **float32** dominuje nad wpływem tolerancji **epsilon**.

2. Wartość epsilon:

Przy **epsilon = 0** w przypadku **float64**, klasyfikacja punktów jest wyraźnie podzielona między "na lewo" i "na prawo", natomiast brak jest punktów na linii.

Dla wyższych wartości **epsilon**, takich jak **1e-8**, zauważalnie większa liczba punktów jest klasyfikowana jako leżące na linii. Dotyczy to szczególnie metody **mat_det_2x2_lib** z typem **float32**, gdzie dominują punkty zaklasyfikowane jako leżące na linii.

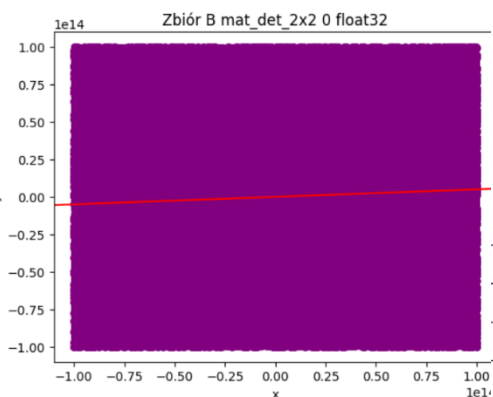
Poddamy szczegółowej analizie przypadki w Tabeli 4, gdzie wystąpiły pojedyncze punkty na prostej:

float	wyznacznik	epsilon	Punkt X	Punkt Y	$Y - X \cdot (0.05) + 0.05$
float64	mat_det_2x2	0.0	85504712754837.25	4281580026820.7344	6344389078,82
float64	mat_det_2x2	0.0	-67859098213101.94	-3396479513077.672	-3524602422,62
float64	mat_det_2x2	0.0	-52971292046400.32	-2654751617818.828	-6187015498,85
float64	mat_det_2x2	0.0	78689836007142.16	3954278919949.125	19787119591,97
float64	mat_det_2x2_lib	0.0	85504712754837.25	4281580026820.7344	6344389078,82
float64	mat_det_2x2_lib	0.0	-94284372728446.16	-4666523144133.406	47695492288,85
float64	mat_det_2x2_lib	0.0	-67859098213101.94	-3396479513077.672	-3524602422,62
float64	mat_det_2x2_lib	0.0	-52971292046400.32	-2654751617818.828	-6187015498,85
float64	mat_det_2x2_lib	0.0	-51600507039819.13	-2571620443334.9688	8404908655,95
float64	mat_det_2x2_lib	0.0	-64740537784892.97	-3228943223308.047	8083665936,56
float64	mat_det_2x2_lib	0.0	-68004561289321.22	-3388887654508.0625	11340409957,95

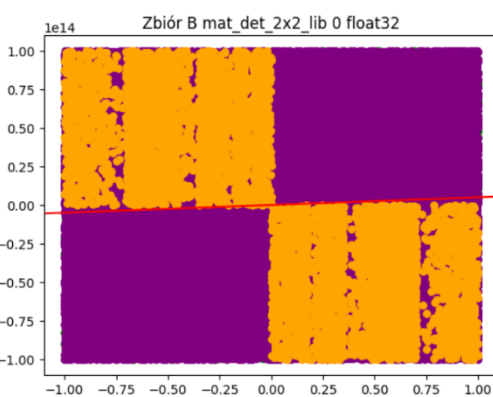
Tabela 4: Rozkład punktów w **Zbiorze B**, gdzie występują pojedyncze punkty na linii

Jak wykazała ręczna analiza, rzeczywista wartość różni się od tej uzyskanej w kategoryzacji.

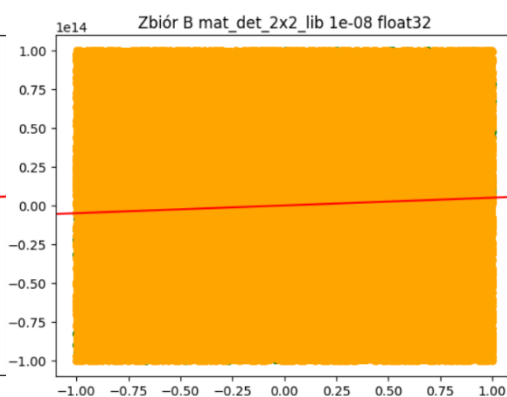
Dla precyzji **float32** można zaobserwować zdecydowanie wyróżniające się wyniki w Tabeli 3. Są one spowodowane ograniczonym zakresem typu **float32**. Natomiast przy wykorzystaniu wyznacznika macierzy **3x3** wyniki są zbliżone do tych uzyskanych dla precyzji **float64**.



Wykres 3: Zbiór B met_det_2x2 0 float32



Wykres 4: Zbiór B mat_det_2x2_lib 0 float32



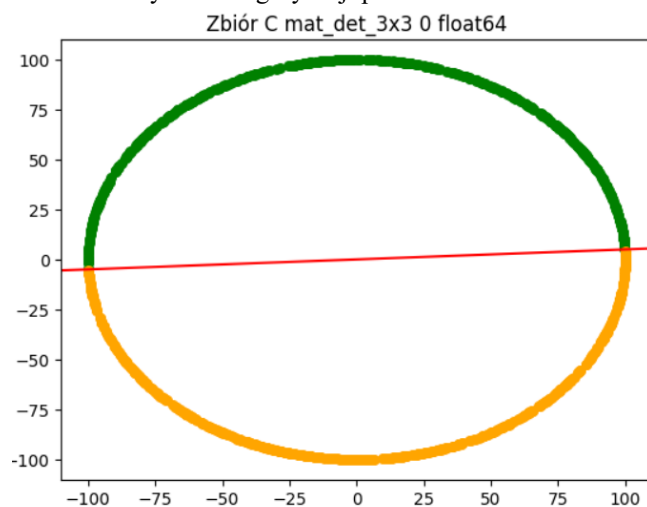
Wykres 5: Zbiór B mat_det_2x2_lib 1e-08 float32

4.3. Zbiór C

Analogicznie do **Zbioru A**, w **Zbiorze C** niezależnie od parametrów generowania danych, kategoryzacja punktów była identyczna. Ilość punktów w każdej z kategorii przedstawia Tabela 5 oraz Wykres 6.

Punkty na lewo	Punkty na linii	Punkty na prawo
481	0	519

Tabela 5: Wyniki kategoryzacji punktów ze **Zbioru C**

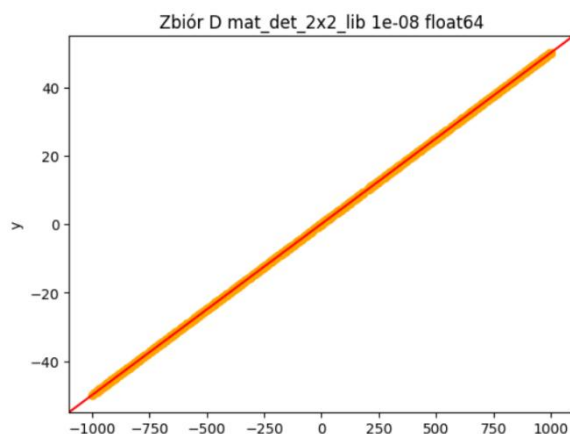


Wykres 6: Zbiór C mat_det_3x3 0 float 64
Przykładowy wykres ze **Zbioru C**

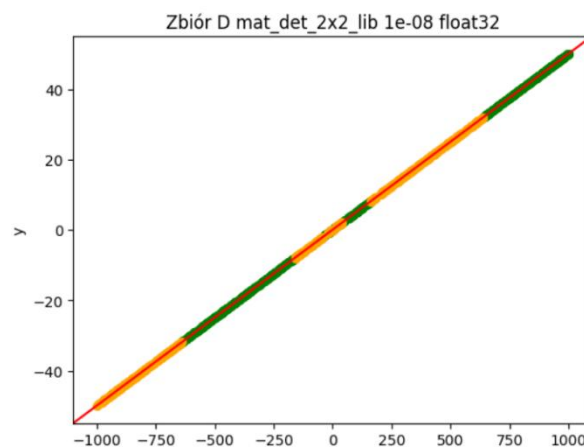
4.4 Zbiór D

W **Zbiorze D** występuje duża rozbieżność w kwalifikacji punktów dla różnych doborów parametrów testowych, mimo że teoretycznie każdy z punktów został wygenerowany na prostej. Wyniki przedstawione są na następnej stronie w Tabela 6.

Precyzja liczby zmiennoprzecinkowej znacząco wpływała na grupowanie danych. Typ **float64** znacznie częściej klasyfikował punkty jako leżące na **prawo od prostej** niż **float32** we wszystkich przypadkach testowych. Przykłady tego zjawiska przedstawiono na Wykresach 7 i 8.

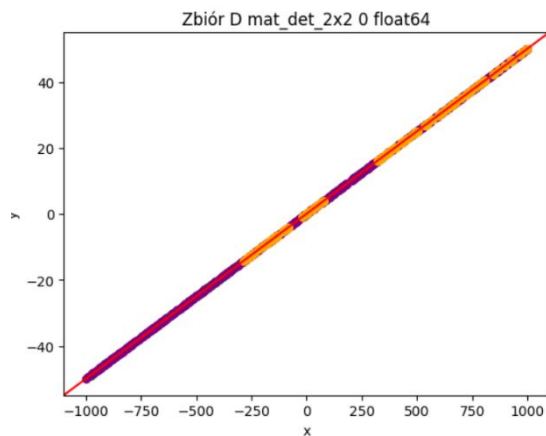


Wykres 7: Zbiór D mat_det_2x2_lib 1e-08 float 64`

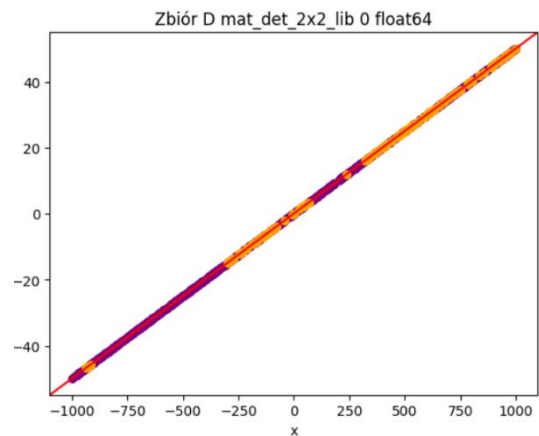


Wykres 8: Zbiór D mat_det_2x2_lib 1e-08 float 32

Kategoryzacja przynosiła zaskakujące wyniki, żadna z czterdziestu przypisań nie wykazała wszystkich punktów **na prostej**. Żaden z wyników nie wykazał pozytywnego grupowania. Zdecydowanie najwięcej kategoryzacji punktów **na prostej** wystąpiła dla **epsilon = 0**, gdzie obliczenia wykazały do 707 (Wykres 9) i 701 (Wykres 10) punktów **na prostej**. Największe wyniki punktów **na prostej** występowały również dla wyznaczników z macierzy **mat_det_2x2** i **mat_det_2x2_lib**. Wszystkie kategoryzacje, w których wystąpiły punkty na prostej miały miejsce dla **epsilon = 0**. Zdecydowana większość kategoryzacji wykazała, że najwięcej punktów leży **na prawo** do prostej.



Wykres 9: Zbiór D mat_det_2x2 0 float 64



Wykres 10: Zbiór D mat_det_2x2_lib 0 float 64

float	wyznacznik	epsilon	Punkty na lewo	Punkty na linii	Punkty na prawo
float64	mat_det_3x3	0.0	120	560	320
float64	mat_det_3x3	1e-14	0	0	1000
float64	mat_det_3x3	1e-12	0	0	1000
float64	mat_det_3x3	1e-10	0	0	1000
float64	mat_det_3x3	1e-08	0	0	1000
float64	mat_det_2x2	0.0	158	707	135
float64	mat_det_2x2	1e-14	153	0	847
float64	mat_det_2x2	1e-12	91	0	909
float64	mat_det_2x2	1e-10	0	0	1000
float64	mat_det_2x2	1e-08	0	0	1000
float64	mat_det_3x3_lib	0.0	358	317	325
float64	mat_det_3x3_lib	1e-14	17	0	983
float64	mat_det_3x3_lib	1e-12	0	0	1000
float64	mat_det_3x3_lib	1e-10	0	0	1000
float64	mat_det_3x3_lib	1e-08	0	0	1000
float64	mat_det_2x2_lib	0.0	163	701	136
float64	mat_det_2x2_lib	1e-14	153	0	847
float64	mat_det_2x2_lib	1e-12	111	0	889
float64	mat_det_2x2_lib	1e-10	0	0	1000
float64	mat_det_2x2_lib	1e-08	0	0	1000
float32	mat_det_3x3	0.0	234	594	172
float32	mat_det_3x3	1e-14	234	0	766
float32	mat_det_3x3	1e-12	234	0	766
float32	mat_det_3x3	1e-10	234	0	766
float32	mat_det_3x3	1e-08	233	0	767
float32	mat_det_2x2	0.0	158	673	169
float32	mat_det_2x2	1e-14	158	0	842
float32	mat_det_2x2	1e-12	158	0	842
float32	mat_det_2x2	1e-10	158	0	842
float32	mat_det_2x2	1e-08	156	0	844
float32	mat_det_3x3_lib	0.0	469	51	480
float32	mat_det_3x3_lib	1e-14	407	0	593
float32	mat_det_3x3_lib	1e-12	397	0	603
float32	mat_det_3x3_lib	1e-10	397	0	603
float32	mat_det_3x3_lib	1e-08	393	0	607
float32	mat_det_2x2_lib	0.0	515	0	485
float32	mat_det_2x2_lib	1e-14	515	0	485
float32	mat_det_2x2_lib	1e-12	515	0	485
float32	mat_det_2x2_lib	1e-10	515	0	485

Tabela 6: Klasyfikacja punktów ze Zbioru D

5. Wnioski

Bazując na przeprowadzonym eksperymencie można wysnuć następujące wnioski:

- W przypadku **Zbioru A** i **Zbioru C** rozkład klasyfikacji punktów pozostawał stabilny, niezależnie od zastosowanych parametrów. Oznacza to, że generowanie punktów z losowego rozkładu na płaszczyźnie jest mniej wrażliwe na zmienne takie jak precyzja liczbową czy tolerancja zerowa.
- Wyniki pokazały, że precyzja zmiennoprzecinkowa odgrywa kluczową rolę w dokładności klasyfikacji punktów względem linii. Typ **float64** zapewniał bardziej precyzyjne obliczenia, co przekładało się na spójne wyniki, nawet przy niskich wartościach tolerancji (**epsilon**). Typ **float32** okazał się bardziej podatny na błędy zaokrągleń, co szczególnie widoczne było w **Zbiorze B**, gdzie liczba punktów klasyfikowanych jako leżące "na linii" była wyraźnie wyższa niż w przypadku **float64**, co pokazuje że mniejsza precyzja jest częściej skłonna do błędów.
- Zaimplementowane metody wyznacznika (**mat_det_2x2** i **mat_det_3x3**) lepiej klasyfikowały punkty na prostej niż ich biblioteczne odpowiedniki dla mniejszych wartości epsilon w przypadku **Zbioru D**. Niemniej jednak nie były one wystarczająco precyzyjne dla pojedynczych punktów w **Zbiorze B**. Implementacje biblioteczne okazały się mniej dokładne w rozpoznawaniu położenia punktów dokładnie na prostej w **Zbiorze D**, co sugeruje, że w zależności od sytuacji, ręcznie dopasowane algorytmy mogą oferować wyższą dokładność niż gotowe funkcje, i odwrotnie.
- Wyniki ćwiczenia pokazały, że dobór odpowiednich metod obliczeń, precyzji danych oraz wartości tolerancji jest kluczowy w geometrii obliczeniowej. Wyniki wskazują również na potrzebę ostrożności w przypadku pracy z dużymi wartościami współrzędnych i wykorzystania bibliotek numerycznych, przykładowo **numpy**. Szczególnie ważne jest również stosowanie odpowiednio dobranej wartości tolerancji **epsilon**, aby uniknąć błędów w klasyfikacji.
- Ćwiczenie pozwoliło na zgłębienie zagadnień związanych z numerycznymi aspektami geometrii obliczeniowej, a także pokazało wyzwania wynikające z niedokładności reprezentacji liczb zmiennoprzecinkowych, co ma istotne znaczenie przy pracy z dużymi zbiorami danych i dużymi zakresami wartości.